

Кодирование изображений с преобразованием.

Стандарт JPEG

Кодирование с преобразованием используется, когда нужно не без потерь сжать изображение, а с потерями.

Основная идея:

1. Изображение делится на блоки $n \times n$ (8x8, 16x16 и т.д.)
2. Для каждого блока выполняется декоррелирующее преобразование. Т.е. преобразовываем блок так, чтобы уменьшить зависимости между его пикселями. Искажение в области коэффициентов преобразования должно быть то же, что и искажение в области исходного сигнала. Должна быть небольшая вычислительная сложность.
3. Квантование устраняет наименее информативные коэффициенты преобразования
4. Энтропийное кодирование применяется к квантованным коэффициентам преобразования

Разные виды преобразования:

- Прямое преобразование

$$T(u, v) = \sum_{x=0}^{N-1} \sum_{y=0}^{N-1} f(x, y) g(x, y, u, v),$$

$$u, v = 0, 1, 2, \dots, N-1.$$

- Обратное преобразование

$$f(x, y) = \sum_{u=0}^{N-1} \sum_{v=0}^{N-1} T(x, y) h(x, y, u, v).$$

- Сепарабельное преобразование:

$$g(x, y, u, v) = g_1(x, u) \cdot g_2(y, v).$$

- Симметричное преобразование:

$$g(x, y, u, v) = g_1(x, y) \cdot g_1(u, v).$$

Возможные кандидаты:

- Преобразование Карунена-Лоева (Karhunen-Loeve Transform, KLT);
 - ▶ Гарантирует, что коэффициенты не коррелированы.
 - ▶ Оптимальный базис зависит от входных данных, т.е., его нужно передавать декодеру.
 - ▶ Высокая вычислительная сложность;
- Дискретное преобразование Фурье (Discrete Fourier Transform, DFT);
 - ▶ Имеет избыточные (мнимые) коэффициенты;
- Дискретное косинусное преобразование (Discrete Cosine Transform, DCT);
- Дискретное преобразование Уолша-Адамара (Walsh-Hadamard transform, WHT);

Преобразование Фурье избыточное. Еще оно дает мнимую часть, с которой не ясно, что делать, т.к. кол-во коэффициентов дублируется, их становится в 2 раза больше

Преобразование Уолша-Адамара, условно говоря, раскладывает входной блок на сумму блоков, умноженных на какой-то коэффициент.

В области преобразования коэффициент остается только на какой-то одной позиции, остальные обнуляются, и производится обратное преобразование

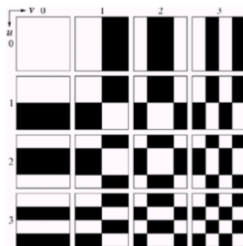
Для блока 4x4:

Преобразование Уолша-Адамара

$$g(x, y, u, v) = h(x, y, u, v) = \frac{1}{N} (-1)^{(b_i(x)p_i(u) + b_i(y)p_i(v))}, N = 2^m,$$

where $b_i(x)$ – значение бита в x на позиции i .

$$\begin{aligned} p_0(u) &= b_{n-1}(u), \\ p_1(u) &= b_{n-1}(u) + b_{n-2}(u), \\ p_2(u) &= b_{n-2}(u) + b_{n-3}(u), \\ &\dots \\ p_{n-1}(u) &= b_1(u) + b_0(u). \end{aligned}$$



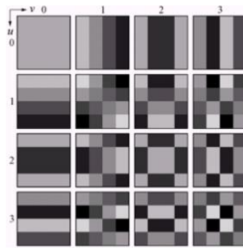
Дискретное косинусное преобразование

В нем левый верхний коэффициент - коэффициент постоянного тока, он же по факту средняя яркость

Дискретное косинусное преобразование

$$g(x, y, u, v) = h(x, y, u, v) = a(u)a(v) \cos\left(\frac{(2x+1)u\pi}{2N}\right) \cos\left(\frac{(2y+1)v\pi}{2N}\right)$$

$$a(u) = \begin{cases} \frac{1}{\sqrt{N}}, & u = 0 \\ \frac{1}{\sqrt{N}}, & u \neq 0. \end{cases}$$



Стандарт JPEG

Основные этапы ⁷

- 1 Преобразование цветового пространства из RGB24 в YCbCr 4:2:0;
- 2 Разбиение яркостной и цветоразностной компоненты на блоки 8×8 ;
- 3 Применение 2-D DCT для каждого блока;
- 4 Квантование DCT коэффициентов;
- 5 DC коэффициент из текущего блока предсказывается при помощи DC коэффициента предыдущего блока и кодирование разности кодом Левенштейна с кодом Хаффмана в первой части кодового слова.
- 6 Сканирование AC коэффициентов в 'зигзагообразном' порядке.
- 7 Одномерный вектор AC кодируется длинами серий и кодом Хаффмана.

Исходный блок 8×8 :

$$X = \begin{pmatrix} 168 & 161 & 161 & 150 & 154 & 168 & 164 & 154 \\ 171 & 154 & 161 & 150 & 157 & 171 & 150 & 164 \\ 171 & 168 & 147 & 164 & 164 & 161 & 143 & 154 \\ 164 & 171 & 154 & 161 & 157 & 157 & 147 & 132 \\ 161 & 161 & 157 & 154 & 143 & 161 & 154 & 132 \\ 164 & 161 & 161 & 154 & 150 & 157 & 154 & 140 \\ 161 & 168 & 157 & 154 & 161 & 140 & 140 & 132 \\ 154 & 161 & 157 & 150 & 140 & 132 & 136 & 128 \end{pmatrix}$$

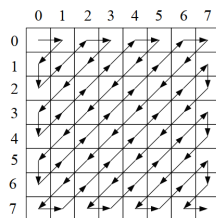
Блок после вычитания 128 и выполнения 2-D DCT:

$$Y = \begin{pmatrix} 214 & 49 & -3 & 20 & -10 & -1 & 1 & -6 \\ 34 & -25 & 11 & 13 & 5 & -3 & 15 & -6 \\ -6 & -4 & 8 & -9 & 3 & -3 & 5 & 10 \\ 8 & -10 & 4 & 4 & -15 & 10 & 6 & 6 \\ -12 & 5 & -1 & -2 & -15 & 9 & -5 & -1 \\ 5 & 9 & -8 & 3 & 4 & -7 & -14 & 2 \\ 2 & -2 & 3 & -1 & 1 & 3 & -3 & -4 \\ -1 & 1 & 0 & 2 & 3 & -2 & -4 & -2 \end{pmatrix}$$

Блок после скалярного квантования:

$$Z = \begin{pmatrix} 13 & 4 & 0 & 1 & 0 & 0 & 0 & 0 \\ 3 & -2 & 1 & 1 & 0 & 0 & 0 & 0 \\ 0 & 0 & 1 & 0 & 0 & 0 & 0 & 0 \\ 1 & -1 & 0 & 0 & 0 & 0 & 0 & 0 \\ 0 & 0 & 0 & 0 & 0 & 0 & 0 & 0 \\ 0 & 0 & 0 & 0 & 0 & 0 & 0 & 0 \\ 0 & 0 & 0 & 0 & 0 & 0 & 0 & 0 \\ 0 & 0 & 0 & 0 & 0 & 0 & 0 & 0 \end{pmatrix}$$

Коэффициенты сканируются в "зигзагообразном" порядке:



- После сканирования
 $Z = \{13, 4, 3, 0, -2, 0, 1, 1, 0, 1, -1, -1, 1, 1, 0, \dots, 0\};$
- $Z = \{13, 4, 3, 0, -2, 0, 1, 1, 0, 1, -1, -1, 1, 1, 0, \dots, 0\};$
- Первый коэффициент 13 (DC coefficient) предсказывается по DC коэффициенту из предыдущего (слева) блока, затем амплитуда ошибки предсказания кодируется монотонным кодом, в котором первая часть кодируется кодом Хаффмана. Дополнительный бит используется для передачи знака для ненулевых значений.

$$n \rightarrow \underbrace{\text{huff}(\text{DC bits})}_{\text{DC bit size}} \underbrace{\text{bin}(\text{DC})}_{\text{DC}} \underbrace{\text{one bit}}_{\text{sign}}.$$

7 = {13, 4, 3, 0, -2, 0, 1, 1, 0, 1, -1, -1, 1, 1, 0, 0, ...}

- $Z = \{1, 3, 4, 5, 0, -2, 0, 1, 1, 0, 1, -1, -1, 1, 1, 0, \dots, 0\}$,
- Оставшиеся коэффициенты (AC coefficients) представляются парами $[run, level]$, где run – число нулей перед ненулевым коэффициентом, $level$ – значение ненулевого коэффициента. В нашем случае:
 $[0, 4], [0, 3], [1, -2], [1, 1], [0, 1], [1, 1], [0, -1], [0, -1], [0, 1], [0, 1]$.

$$[run, level] \rightarrow \underbrace{\text{Huffman}}_{[run, level \text{ bit size}]} \underbrace{\text{bin}(|level|)}_{level} \underbrace{\text{one bit}}_{sign}.$$

- Если пара $[run, level]$ не присутствует в кодовой таблице Хаффмана, то передаётся ESC-символ, после чего run и $level$ передаются равномерным кодом.
- End-of-block (EOB) символ передаётся кодом Хаффмана, если в "зиг-заге" далее следуют только нули.

Блок после декодирования кодом Хаффмана, обратного прохода по "зиг-загу", деквантования, обратного преобразования и прибавления 128:

$$\hat{X} = \begin{pmatrix} 171 & 160 & 149 & 149 & 158 & 166 & 166 & 162 \\ 174 & 164 & 155 & 154 & 160 & 164 & 161 & 156 \\ 171 & 164 & 157 & 156 & 158 & 158 & 151 & 145 \\ 161 & 157 & 154 & 154 & 155 & 151 & 144 & 137 \\ 156 & 155 & 155 & 156 & 156 & 152 & 145 & 140 \\ 159 & 160 & 160 & 160 & 157 & 153 & 148 & 145 \\ 161 & 161 & 160 & 156 & 150 & 144 & 141 & 139 \\ 159 & 158 & 155 & 148 & 139 & 132 & 129 & 128 \end{pmatrix}$$

При больших значениях Δ возникают хорошо видимые границы блоков:



Δ -шаг
квантования

Из-за поблочного квантования появляются блочные артефакты: возникают расхождения на границах блоков. Это можно учесть.

Известно, что расхождения возникают на границах блоков, размер блоков известен. Можно применить алгоритм, который будет усреднять граничные пиксели